

I-81 北海道内で得られた強震記録の解析方法について

北海道庁発局土木試験所 正員 井藤昭夫

1. まえがき

日本各地において強震観測がひろく行なわれつつあるが北海道庁発局(道路関係)では昭和41年度に一般国道242号の千代田大橋の橋台、橋脚、地盤に各1台ずつSHAC-B₂型強震計を設置し、以後現在まで、B₂型16台、D型5台を設置を行ない、今後各地に設置する予定である。

本文ではこれら強震計により得られた記録の解析方法と解析結果の一例を紹介する。

解析の対象とした地震は1968年5月16日の十勝沖地震(本震)である。

この地震により比較的大きな加速度(最大50gal程度以上)を示した記録のみを解析した。

2. 十勝沖地震の概要と強震記録箇所について

解析は表-2の箇所の記録(水平動成分のみ)よりパワースペクトルと応答スペクトルを求めた。

表-1, 1968年十勝沖地震の概要

地震名	地震発生年月日	マグニチュード	震央
1968年十勝沖地震	1968.5.16 AM 9:49	7.9	N 40° 44' E 143° 35'

表-2 記録箇所と位置, 地盤構成

記録箇所	一般国道名と位置	概略の地盤構成
千代田大橋(G.L.)	242号 N 42° 55' 11" E 143° 23' 21"	0~3.5表土, 中砂, 3.5~ 砂とシキ
新五稜大橋(〃)	275号 N 43° 07' 35" E 141° 30' 40"	0~13.4表土, シト質砂(2~8), 13.4~17.0中砂, 砂とシキ(10~50), 17.0~55.0中砂(5~16)
大梁毛橋(Pier)	N 42° 06' 33" E 144° 25' 40"	0~4.5表土, 細粒砂(0~20), 4.5~10.3粗粒砂(10~35), 10.3~ 砂質粘土(10~90)
幌満橋(G.L.)	N 42° 04' 24" E 143° 02' 16"	0~4.5土混粗粒砂(0~30), 4.0~16.5砂とシキ, 16.5~ 閉鎖母岩

3. 解析方法について

地震波動のパワースペクトルを自動的に求めるためのフロー図を示すと決まりのようである。

図-1 自動記録のフロー図

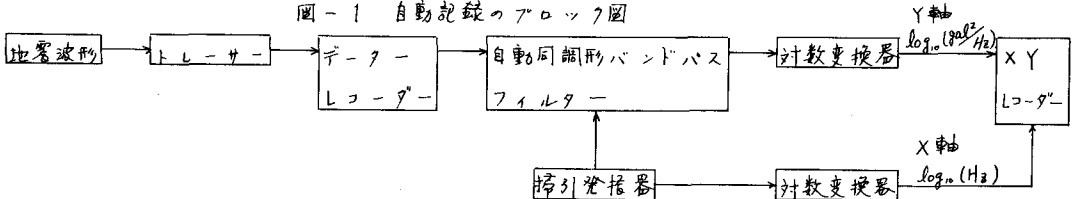


図-1のフロー図について説明すると地震波をトレーサーを操作し、データレコーダーに記録させ(A-A変換)。このデータレコーダーの出力を自動同調形バンドパスフィルターに通せ、別端子に与えられた同調信号周波数(掃引発振器より発振した周波数信号)と中心周波数(この場合6.3Hz = 2π・15 Hz)とを狭周波帯域に含まれる周波数成分のみを選択、検出せしむ。

自動同調形バンドパスフィルター出力を計数変換器した後、換算操作を以て $\log_{10}(\text{gal}/\text{Hz})$ に比例した出力を得る。同様に掃引発振器の出力より $\log_{10}(\text{Hz})$ に比例した出力を得る。

前者をY軸、後者をX軸にXYレコーダーに記録せしむ。この解析方法でパワースペクトルを自動的に行なうことはより成分当りの解析時間は非常に少く約30分程度に終了する。

一応答のスペクトルは
次式で表わされ、

$$S_x(\omega) = |H(\omega)|^2 \cdot S_f(\omega)$$

上式で $S_f(\omega)$ は強制力のパ
ワースペクトルであり $|H(\omega)|^2$
は次式で表わされる複素振動
数レスポンスの二乗である。

$$|H(\omega)|^2 = \frac{1}{\left\{1 - \left(\frac{\omega}{\omega_0}\right)^2\right\}^2 + 4\zeta^2 \left(\frac{\omega}{\omega_0}\right)^2}\right.}$$

本式では減衰項 $4\zeta^2$ と
一定 0.04 とし、

$S_x(\omega)$ の値は図2~5
のパワースペクトル値を各
Hz ごとに読み取り電算機
FACOM 270-20 の XY プロッ
ターにより作図せられた。

その結果は図6~9を示す。

4. 考察およびおわりに

地震波の自動解析の手法と
パワーと応答スペクトルとの
手法で求めた結果を紹介し
た。この手法の利点は短時間
で資料整理を行なうことが
できるとは、またデー
タレコーダの記録波形を
デジタル処理装置でデ
ジタル化することも出来る。

この SMAC の振動数特性は向
題となるが、記録波形をカレ
ベル一定にするような加速度等
化器を準化した後、振動数解析
をすることが検討中である。

参考文献 小高昭夫著

耐震構造の総合研究 [I] 上巻

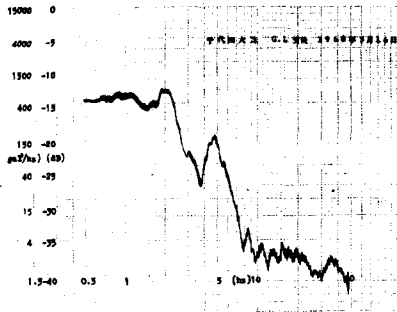


図-2 千代田大橋のパワースペクトル

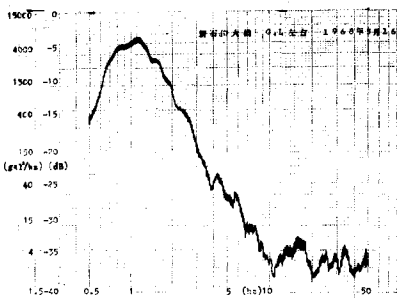


図-3 新石狩大橋のパワースペクトル

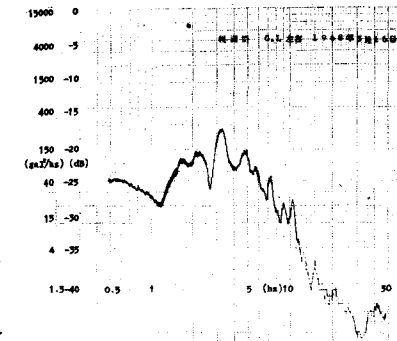


図-4 幌向橋のパワースペクトル

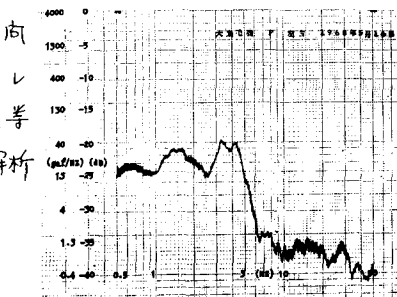


図-5 大槌毛橋のパワースペクトル

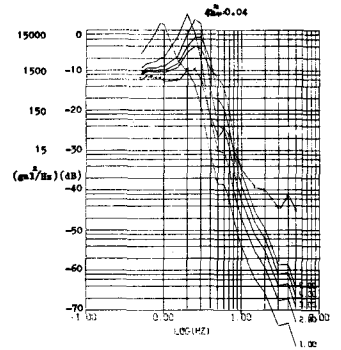


図-6 千代田大橋の応答スペクトル

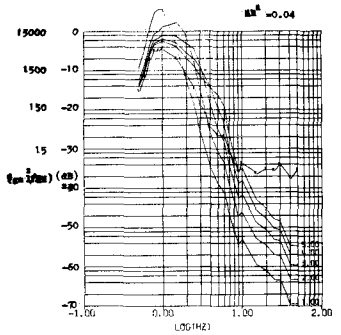


図-7 新石狩大橋の応答スペクトル

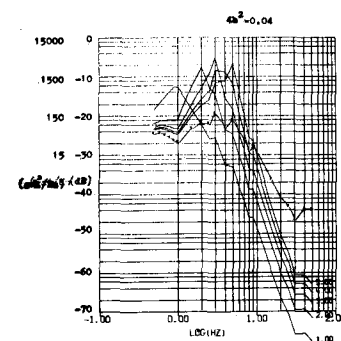


図-8 幌向橋の応答スペクトル

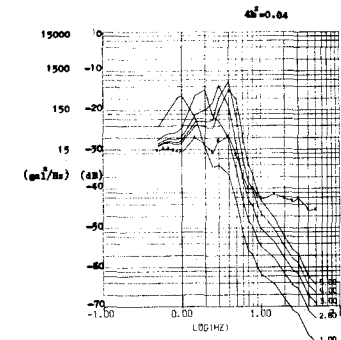


図-9 大槌毛橋の応答スペクトル